

การติดต่อและการแสดงออกของอินเพนดูลิน เอซีเลสจาก

เอลส์ เคอร์ เคีย โคล



นางสาวครุญญา เงินประเสริฐศิริ

ศูนย์วิทยทรัพยากร
จุฬาลงกรณ์มหาวิทยาลัย

วิทยานิพนธ์นี้เป็นส่วนหนึ่งของการศึกษาตามหลักสูตรปริญญาวิทยาศาสตรมหาบัณฑิต

หลักสูตร เทคโนโลยีทางชีวภาพ


บัณฑิตวิทยาลัย จุฬาลงกรณ์มหาวิทยาลัย

พ.ศ. 2528

ISBN 974-564-939-2

013228

CLONING AND EXPRESSION OF THE
PENICILLIN ACYLASE GENE FROM Escherichia coli



Miss Jarunya Ngernprasirtsiri

A Thesis Submitted in Partial Fulfillment of the Requirements

for the Degree of Master of Science

Biotechnology programme

Graduate School

Chulalongkorn University

1985

ISBN 974-564-939-2

หัวข้อวิทยานิพนธ์ การตัดต่อและการแสดงออกของยีนเพนนิซิลิน เอซีเลสจาก เอสเคอริเคีย
โคไล

โดย นางสาวจรรยา เงินประเสริฐศิริ

หลักสูตร เทคโนโลยีทางชีวภาพ

อาจารย์ที่ปรึกษา รองศาสตราจารย์ ดร.ไพเราะ กิพยทัศน์



บัณฑิตวิทยาลัย จุฬาลงกรณ์มหาวิทยาลัย อนุมัติให้บัณฑิตวิทยาลัยเป็นส่วนหนึ่ง
 ของการศึกษาตามหลักสูตรปริญญามหาบัณฑิต

[Signature] คณบดีบัณฑิตวิทยาลัย
 (รองศาสตราจารย์ ดร.สุประดิษฐ์ บุนนาค)

คณะกรรมการสอบวิทยานิพนธ์

[Signature] ประธานกรรมการ
 (รองศาสตราจารย์ ดร.ไพเราะ ปิ่นพานิชการ)

[Signature] ที่ปรึกษาวิทยานิพนธ์
 (รองศาสตราจารย์ ดร.ไพเราะ กิพยทัศน์)

[Signature] กรรมการ
 (รองศาสตราจารย์ ดร.สัณห พิทยกุล)

[Signature] กรรมการ
 (รองศาสตราจารย์ ดร.นลิน นิลอุบล)

[Signature] กรรมการ
 (ผู้ช่วยศาสตราจารย์ ดร.ศิริพร สิทธิประณีต)

หัวข้อวิทยานิพนธ์ การตัดต่อและการแสดงออกของยีนเพนนิซิลิน เอซีเลสจาก เอสเคอริเคีย
โคไล

ชื่อนิสิต นางสาวจริญญา เงินประเสริฐศิริ

อาจารย์ที่ปรึกษา รองศาสตราจารย์ ดร.ไพเราะ ทิพย์ทัศน์

หลักสูตร เทคโนโลยีทางชีวภาพ

ปีการศึกษา 2528



บทคัดย่อ

การวิจัยนี้อาศัยเทคนิคทางพันธุวิศวกรรม ในการเพิ่มปริมาณการผลิตเอนไซม์เพนนิซิลิน เอซีเลส (PA) โดยเริ่มจาก เอสเคอริเคีย โคไล เอทีซีซี 11105 ซึ่งเป็นสายพันธุ์ที่สามารถผลิต PA ได้ ในขั้นต้นของการทำ molecular cloning ได้ตัดยีน PA จากโครโมโซมของ อี.โคไล เอทีซีซี 11105 และตัดพลาสมิดดีเอ็นเอพาหะที่มีคุณสมบัติ runaway-replication ซึ่งมีชื่อว่า pSY 343 โดยใช้เอนไซม์เรสทริกชัน Hind III และ EcoR I หลังจากเชื่อมชิ้นดีเอ็นเอด้วยเอนไซม์ T₄-DNA ligase แล้ว จึงเคลื่อนย้ายพลาสมิดที่สร้างขึ้นใหม่เข้าสู่เซลล์เจ้าเรือน อี.โคไล HB 101 แล้วคัดเลือกทรานส์ฟอร์มแมนต์ที่สามารถผลิต PA ได้ โดยอาศัยวิธีการสังเกตบริเวณสีเขียวของ เชอราเทีย มาเซลล์เซน เอทีซีซี 27117 รอบ ๆ โคลนินของทรานส์ฟอร์มแมนต์ที่สามารถผลิต PA ได้

รีคอมบิแนนท์พลาสมิดดีเอ็นเอใหม่ที่มียีน PA ให้ชื่อว่า pJR 69 และทรานส์ฟอร์มแมนต์ที่สามารถผลิต PA ได้ให้ชื่อว่า Q₆₉ pJR 69 มีขนาดประมาณ 11 กิโลเบส การถอดรหัสของยีน PA ในสภาวะที่เหมาะสม ทำให้ Q₆₉ สามารถต้านยาเพนนิซิลิน 200 ไมโครกรัมต่อมิลลิกรัม และสามารถผลิต PA ที่มีแอกติวิตีสูงสุด 355.0 นาโนโมลของกรตพารา-อะมิโนเบนโซอิคต่อนาที่ต่อมิลลิกรัมโปรตีน ถ้านำค่าสูงสุดที่ได้เทียบกับค่าสูงสุดของ PA เดิมที่พบใน อี.โคไล เอทีซีซี 11105 แล้วจะพบว่าแอกติวิตีสูงขึ้น 9.3 เท่า นอกจากนี้ยังพบว่า การถอดรหัสของเอนไซม์ PA ยังเปลี่ยนจากโอเปอรอนที่ต้องการตัวชักนำมาเป็นโอเปอรอนที่ถอดรหัสได้ตลอดเวลา

เนื่องจากการสร้าง PA ของ Q₆₉ ยังคงถูกกดตันด้วยกลูโคสในอาหาร ดังนั้นจึงได้ชักนำการกลายพันธุ์เพื่อแยกสายพันธุ์ใหม่ที่สามารถใช้กลูโคสเป็นสารตั้งต้นต่อคาร์บอน พร้อมทั้งถอด

รหัส PA ได้อีกด้วย การวิจัยนี้ได้เลือกใช้รังสีอัลตราไวโอเล็ต และ N-methyl-N'-nitro-N-nitrosoguanidine (NTG) สำหรับการกลายพันธุ์ ในการกลายพันธุ์ด้วยรังสีอัลตราไวโอเล็ต นั้นสามารถแยกได้มิวแทนท์ซึ่งมีคุณสมบัติ catabolite derepressed หลายตัว หลังจากทดสอบแล้วพบว่าสายพันธุ์ R₉ สามารถผลิต PA ได้สูงสุดในสภาวะที่เหมาะสมต่อการเจริญ R₉ สามารถผลิต PA ได้มีแอกติวิตีสูงสุด 661.8 นาโนโมล ของกรดพาราอะมิโนเบนโซอิก ต่อเวลาที่ต่อผลิตภัณฑ์โปรตีน ซึ่งถ้านำค่าสูงสุดที่ได้นี้เทียบกับค่าสูงสุดของ PA จาก Q₆₉ พบว่า แอกติวิตีสูงขึ้น 1.9 เท่า

ส่วนการกลายพันธุ์ด้วยสาร NTG นั้น สามารถแยกได้มิวแทนท์ซึ่งมีคุณสมบัติ catabolite derepressed หลายตัว หลังจากทดสอบแล้วพบว่าสายพันธุ์ S₅ สามารถผลิต PA ได้สูงสุดในสภาวะที่เหมาะสมต่อการเจริญ S₅ สามารถผลิต PA ได้มีแอกติวิตีสูงสุดใกล้เคียงกับ R₉ ความแตกต่างระหว่างสายพันธุ์ทั้งสองนี้อยู่ที่ S₅ มีความเสถียรกว่า ซึ่งมีความเหมาะสมสำหรับใช้ในการผลิต PA

ศูนย์วิทยทรัพยากร
จุฬาลงกรณ์มหาวิทยาลัย

was changed from formerly inducible to constitutive type of operon.

The next objective of this work was to produce strains being devoid of glucose effect by the technique of mutation. Ultraviolet radiation (UV) and N-methyl-N'-nitro-N-nitrosoguanidine (NTG) were used for mutagenesis. By UV mutagenesis, many strains having derepressed catabolite effect were isolated. After characterization, a strain named R₉ was found to be the best strain in the aspect of PA production. Under the optimal growth condition for R₉, 661.8 nmole PABA per min. per mg. protein were obtained and furthermore at this conditions, the maximal specific activity of PA from R₉ was 1.9 folds higher than that from Q₆₉.

Finally, with an application of NTG mutagenesis, many strains which were devoid of glucose effect could be isolated. S₅ was the strain with the highest level of PA activity under an optimal growth condition. The specific activity of PA including the maximal growth yield of S₅ were very similar to those of R₉. However, the difference between these two strains was due to the mutation resided in S₅ causing this mutant more stable than R₉. Therefore, this mutant may be suitable for PA production.

ศูนย์วิทยทรัพยากร
จุฬาลงกรณ์มหาวิทยาลัย



กิตติกรรมประกาศ

ผู้เขียนใคร่ขอกราบขอบพระคุณ รองศาสตราจารย์ ดร.ไพเราะ ทิพยทัศน์ ที่ได้ให้ความกรุณาเป็นที่ปรึกษา ให้ความช่วยเหลือ กำลังใจ และความเข้าใจ อันมีค่ายิ่งต่อผู้เขียน ตลอดระยะเวลาที่ผู้เขียนศึกษาอยู่ในหลักสูตรเทคโนโลยีชีวภาพ

กราบขอบพระคุณ รองศาสตราจารย์ ดร.สหัส พริชชกุล ที่ได้กรุณาให้คำปรึกษาและคำแนะนำที่สำคัญและเป็นประโยชน์อย่างมากในการวิจัยนี้ รวมทั้งกรุณารับเป็นกรรมการสอบวิทยานิพนธ์

กราบขอบพระคุณ ผู้ช่วยศาสตราจารย์ ดร.ศิริพร สิทธิประณีต ที่ได้กรุณาให้คำแนะนำและความเข้าใจด้านเทคนิคที่สำคัญในการทำ Molecular cloning รวมทั้งกรุณารับเป็นกรรมการสอบวิทยานิพนธ์

กราบขอบพระคุณ รองศาสตราจารย์ ดร.ไพเราะ ปันพานิชการ และ รองศาสตราจารย์ ดร.นลิน นิลอุบล ที่ได้กรุณารับเป็นกรรมการสอบวิทยานิพนธ์

กราบขอบพระคุณอาจารย์ทุกท่านในหลักสูตรเทคโนโลยีชีวภาพ หน่วยปฏิบัติการพันธุวิศวกรรม และภาควิชาชีวเคมี ที่ได้ให้ความกรุณา และคำชี้แนะต่าง ๆ ตลอดระยะเวลาการทำวิจัย

ขอบคุณหน่วยปฏิบัติการพันธุวิศวกรรม และภาควิชาชีวเคมี ที่กรุณาให้ความช่วยเหลือด้านสถานที่ อุปกรณ์ เครื่องมือ และสารเคมี ตลอดระยะเวลาการทำวิจัย

ขอบคุณ คุณจันทร์เพ็ญ เตชะอำไพ เป็นอย่างยิ่งที่กรุณาให้ความช่วยเหลือ ความเข้าใจ และกำลังใจต่อผู้เขียน ขอขอบคุณ คุณฉวีวัฒน์ คุปวิวัฒน์ สำหรับความช่วยเหลือด้านการถ่ายภาพ ตลอดจนขอขอบคุณสมาชิกทุกคนในกลุ่มวิจัย เพนนิซิลิน เอซีเลล์ สมาชิกในหน่วยปฏิบัติการพันธุวิศวกรรม นิสิตปริญญาโทเทคโนโลยีชีวภาพ และชีวเคมี สำหรับความช่วยเหลือต่าง ๆ และกำลังใจต่อผู้เขียน

ขอบคุณเจ้าหน้าที่ในภาควิชาชีวเคมีทุกคน ในความช่วยเหลือเรื่องทั่วไป ระหว่างการทำวิจัย

ท้ายสุดนี้ ผู้เขียนขอบคุณบัณฑิตวิทยาลัย สำหรับความอนุเคราะห์ที่ด้านทุนวิจัย.



บทคัดย่อภาษาไทย	ง
บทคัดย่อภาษาอังกฤษ	ฉ
กิตติกรรมประกาศ	ช
สารบัญ	ณ
สารบัญตาราง	ณ
สารบัญรูป	ท
คำย่อ	ต
บทที่	
1. บทนำ	1
2. วิธีการทดลอง	
2.1 วิธีวัดและเคมีภัณฑ์ที่ใช้ในการทดลอง	15
2.2 พลาสติดดี เอนเอและดี เอนเอมาตรฐานที่ใช้ในการทดลอง	16
2.3 การเก็บรักษาดี เอนเอที่ใช้ในการทดลอง	16
2.4 จุลินทรีย์ที่ใช้ในการทดลอง	17
2.5 อาหารเลี้ยงเชื้อ	17
2.6 การเก็บรักษาจุลินทรีย์ที่ใช้ในการทดลอง	20
2.7 การเตรียมสารละลาย	20
2.8 การศึกษาการเจริญของเชื้อ	23
2.9 การตรวจสอบแอกติวิตีเบื้องต้นของ เอนไซม์เพนนิซิลิน เอซีเลสส์ของ โคโลนีในจานเพาะเชื้อโดยวิธี Microbiological test	24
2.10 การวัดแอกติวิตีของ เอนไซม์เพนนิซิลิน เอซีเลสส์	24
2.11 การตรวจสอบแอกติวิตีเบื้องต้นของ เอนไซม์ปีตา-แลคตาเมสล์ ของ โคโลนีในจานเพาะเชื้อโดยวิธี Microiodometric test ...	26
2.12 การวัดแอกติวิตีของ เอนไซม์ปีตา-แลคตาเมสล์	26

สารบัญ (ต่อ)

บทที่	หน้า
2.13 การสกัดพลาสมิดดีเอ็นเอ	27
2.14 การสกัดโครโมโซมของแบคทีเรีย	30
2.15 การวัดปริมาณดีเอ็นเอ	31
2.16 เทคนิคทาง Molecular cloning	31
2.17 การแยก Catabolite derepressed mutant	33
2.18 การหาปริมาณโปรตีนโดยวิธี Lowry	34
 3. ผลการทดลอง	
3.1 สัมบัติของ <u>E. coli</u> ATCC 11105	36
3.2 สภาวะที่เหมาะสมของขั้นตอนต่าง ๆ ในเทคนิค Molecular cloning	44
3.3 สัมบัติของ transformant Q ₆₉ (<u>E. coli</u> HB 101 ที่มีพลาสมิดดีเอ็นเอ pJR 69)	56
3.4 การแยก Catabolite derepressed mutant จาก Q ₆₉ ..	69
3.5 สัมบัติของ Catabolite derepressed mutant R ₉ (<u>E. coli</u> C 600 ที่มี pJR 69)	73
3.6 สัมบัติของ Catabolite derepressed mutant S ₅ (<u>E. coli</u> HB 101 ที่มี pJR 69)	84
3.7 เปรียบเทียบค่าแอกติวิตีสูงสุดของ เอนไซม์เพนนิซิลิน เอซีเลส เมื่อวัดโดยวิธี PAAB และวิธี PDAB ใน <u>E. coli</u> ATCC 11105, Q ₆₉ , R ₉ และ S ₅	91
4. วิเคราะห์และสรุปผลการวิจัย	94
เอกสารอ้างอิง	108
 ภาคผนวก	
1. กราฟมาตรฐานสำหรับหาปริมาณโปรตีนโดยวิธีลอรี	116

สารบัญ (ต่อ)

บทที่	หน้า
2. กราฟมาตรฐานสำหรับหาปริมาณ p-aminobenzoic acid โดยวิธีของ Szewezuk	117
3. กราฟมาตรฐานสำหรับหาปริมาณ 6-aminopenicillanic acid โดยวิธีของ Balasingham	118
4. แอคติวิตีของ เอนไซม์บีตา-แลคตาเมสของ E. coli ATCC 11105 เมื่อเจริญในอาหารจืด LB เสริม PAA 0.1 % ที่ 30 ^o ซ.	119
ประวัติผู้เขียน	120



 ศูนย์วิทยทรัพยากร
 จุฬาลงกรณ์มหาวิทยาลัย

สารบัญตาราง

ตารางที่	หน้า
1. จุลินทรีย์ที่ใช้ในการทดลอง	18
2. การเจริญและแอกติวิตีสูงสุดของเอนไซม์เพนนิซิลิน เอซีเลสของ <u>E. coli</u> ATCC 11105 ในอาหารเลี้ยงเชื้อชนิดต่าง ๆ ที่ 30 ^o ซ. และ 37 ^o ซ.	37
3. การเจริญและแอกติวิตีสูงสุดของเอนไซม์เพนนิซิลิน เอซีเลสของ <u>E. coli</u> ATCC 11105 ในอาหารเลี้ยงเชื้อจตุรม LB ที่เสริม Phenylacetic acid ปริมาณต่าง ๆ กันที่ 30 ^o ซ.	38
4. แอกติวิตีของเอนไซม์เพนนิซิลิน เอซีเลสของ <u>E. coli</u> ATCC 11105 เมื่อเติม Mitomycin C เปรียบเทียบกับไม่เติม	43
5. ผลของการแยกสาย DNA ด้วยความร้อนก่อน ligation	48
6. ผลของปริมาณ T ₄ -DNA ligase	49
7. ผลของอุณหภูมิต่อการทำงานของ T ₄ -DNA ligase	50
8. ผลของเวลาที่ใช้ในการ ligation	51
9. ผลการทดสอบความสามารถในการต้านเพนนิซิลินซีของแบคทีเรียที่ใช้ในงานวิจัย	55
10. ผลของอุณหภูมิและเวลาที่ใช้ในการบ่มเชื้อต่อการเจริญ และการผลิต เอนไซม์ เพนนิซิลิน เอซีเลสของ Q ₆₉	59
11. ผลของอุณหภูมิและเวลาที่ใช้ในการบ่มเชื้อ ต่อปริมาณพลาสมิดดีเอ็นเอ ของ Q ₆₉ เปรียบเทียบกับ <u>E. coli</u> HB 101 ที่มี pSY 343	60
12. ผลของอาหารเลี้ยงเชื้อต่อการเจริญและการผลิตเอนไซม์เพนนิซิลิน เอซีเลสของ Q ₆₉	61
13. ผลของอุณหภูมิและเวลาที่ใช้ในการบ่มเชื้อต่อการเจริญและการผลิต เอนไซม์เพนนิซิลิน เอซีเลสของ R ₉	75

สารบัญตาราง (ต่อ)

ตารางที่	หน้า
14. ผลของอุณหภูมิและเวลาที่ใช้ในการบ่มเชื้อ ต่อปริมาณพลาสมิดดีเอ็นเอ ของ R ₉ เปรียบเทียบกับ Q ₆₉	76
15. ผลของอาหารเลี้ยงเชื้อต่อการเจริญและการผลิตเอนไซม์เพนนิซิลิน เอซีเลสส์ของ R ₉	77
16. ผลของอุณหภูมิและเวลาที่ใช้ในการบ่มเชื้อต่อการเจริญ และการผลิต เอนไซม์เพนนิซิลินเอซีเลสส์ของ S ₅	85
17. ผลของอุณหภูมิและเวลาที่ใช้ในการบ่มเชื้อต่อปริมาณพลาสมิดดีเอ็นเอ ของ S ₅ เปรียบเทียบกับ Q ₆₉	86
18. ผลของอาหารเลี้ยงเชื้อต่อการเจริญและการผลิตเอนไซม์เพนนิซิลิน เอซีเลสส์ของ S ₅	87
19. แอคติวิตีสูงสุดของ PA ของ <u>E. coli</u> ATCC 11105, Q ₆₉ , R ₉ และ S ₅ เมื่อวัดโดยวิธีสับสเตรทเป็น PAAB เปรียบเทียบกับ Penicillin G	93
20. เปรียบเทียบการเจริญสูงสุดและแอคติวิตีสูงสุดของ เอนไซม์เพนนิซิลิน เอซีเลสส์ ระหว่าง <u>E. coli</u> ATCC 11105 กับ Q ₆₉ , R ₉ และ S ₅	105

สารบัญรูป

รูปที่		หน้า
1	สูตรโครงสร้างของเพนนิซิลิน และตัวอย่าง side chain ต่าง ๆ	2
2	ขั้นตอนการผลิต 6-Aminopenicillanic acid ด้วยวิธีทางเคมี	4
3	ปฏิกิริยาของเอนไซม์เพนนิซิลิน เอซีเลส	5
4	Restriction mapping ของพลาสมิดดีเอ็นเอ pHM 6 ซึ่งสร้างโดย Mayer และคณะ (1980)	10
5	Restriction mapping ของพลาสมิดดีเอ็นเอ pSY 343	12
6	ลักษณะการเจริญและแอกติวิตีของเอนไซม์เพนนิซิลิน เอซีเลส ของ <u>E. coli</u> ATCC 11105 เมื่อเจริญในอาหารอุดม LB เสริม PAA 0.1 % ที่ 30 ^o ซ. .	39
7	ลักษณะการเจริญและแอกติวิตีของเอนไซม์เพนนิซิลิน เอซีเลส ของ <u>E. coli</u> ATCC 11105 เมื่อเจริญในอาหารอุดม LB เสริม PAA 0.1 % และกลูโคส 0.2 % ที่ 30 ^o ซ.	41
8	การตรวจสอบพลาสมิดของ <u>E. coli</u> ATCC 11105 บน 0.7 % agarose gel electrophoresis	42
9	ผลของการย่อยโครโมโซมของ <u>E. coli</u> ATCC 11105 ด้วยเอนไซม์ Hind III และ EcoR I บน 0.7 % agarose gel electrophoresis	45
10	ผลการย่อยพลาสมิดดีเอ็นเอ pSY 343 ด้วยเอนไซม์ Hind III และ EcoR I	46
11	ความสัมพันธ์ระหว่างปริมาณของพลาสมิดดีเอ็นเอ pSY 343 ที่ใช้กับจำนวน transformant ทั้งหมด ที่ได้จากการ transformation เมื่อเตรียม competent cell โดยวิธี CaCl ₂ treated-method	52
12	ความสัมพันธ์ระหว่างปริมาณของพลาสมิดดีเอ็นเอ pSY 343 ที่ใช้กับจำนวน transformant ทั้งหมด ที่ได้จากการ transformation เมื่อเตรียม competent cell โดยวิธี DMSO-treated-method	54

สารบัญรูป (ต่อ)

รูปที่		หน้า
13	ผลของการ ligation ขึ้น DNA จาก <u>E. coli</u> ATCC 11105 กับ ชิ้นพลาสมิดดีเอ็นเอ pSY 343 บน 0.7 % agarose gel electrophoresis	57
14	ลักษณะการเจริญและแอกติวิตีของเอนไซม์เพนนิซิลิน เอซีเลส ของ Q ₆₉ และ <u>E. coli</u> ATCC 11105 ในอาหารอุดม	63
15	ลักษณะการเจริญและแอกติวิตีของเอนไซม์เพนนิซิลิน เอซีเลส ของ Q ₆₉ และ <u>E. coli</u> ATCC 11105 ในอาหารอุดม LB เสริม PAA 0.1 % ..	64
16	ลักษณะการเจริญและแอกติวิตีของเอนไซม์ เพนนิซิลิน เอซีเลส ของ Q ₆₉ และ <u>E. coli</u> ATCC 11105 ในอาหารอุดม LB เสริมกลูโคส 0.2 % ..	65
17	ก) ลักษณะของการผลิตเอนไซม์เพนนิซิลิน เอซีเลสที่สัมพันธ์กับเวลา, ความขุ่น และปริมาณพลาสมิดดีเอ็นเอ pJR 69 ของ Q ₆₉ เมื่อเติม Mitomycin C เปรียบเทียบกับไม่เติม ข) ลักษณะของปริมาณพลาสมิดดีเอ็นเอที่สัมพันธ์กับเวลาและความขุ่นของ Q ₆₉ เมื่อเจริญในสภาวะเช่นเดียวกับ ก เติมนและไม่เติม Mitomycin C เปรียบเทียบกับ <u>E. coli</u> HB 101 ที่มี pSY 343	67
18	ผลของการศึกษาขนาดและ restriction site ของพลาสมิดดีเอ็นเอ pJR 69 ของ Q ₆₉ บน 0.7 % agarose gel electrophoresis ..	68
19	Survival curve ของ <u>E. coli</u> C 600 ที่มี pJR 69 เมื่อถูกทำลาย พันธุ์ด้วยรังสีจูลตราไวโอเลตบนอาหารเลี้ยงเชื้ออุดม LB เสริม Penicillin G 200 µg/ml	71
20	การทดสอบการผลิต PA ของ Q ₆₉ , <u>E. coli</u> C 600 ที่มี pJR 69 และมิวแทนท์ 9 ตัวที่แยกได้จากการกลายพันธุ์ <u>E. coli</u> C 600 ที่มี pJR 69 ด้วยรังสีจูลตราไวโอเลต	72

สารบัญรูป (ต่อ)

รูปที่		หน้า
21	การทดสอบการผลิต PA ของ Q ₆₉ , <u>E. coli</u> ATCC 11105 และ ฉวมแตนท์ 5 ตัวที่แยกได้จากการกลายพันธุ์ Q ₆₉ ด้วย NTG	74
22	เปรียบเทียบการเจริญและแอกติวิตีของ PA ของ R ₉ ในอาหารอุดม LB และ LB เสริมกลูโคสปริมาณต่าง ๆ กัน	78
23	ลักษณะการเจริญและแอกติวิตีของเอนไซม์เพนนิซิลิน เอซีเลสของ R ₉ และ Q ₆₉ ในอาหารอุดม LB เสริมกลูโคส 0.2 %	80
24	การทดสอบการผลิต PA ของ R ₉ และ <u>E. coli</u> C 600 ที่ได้รับ พลาสมิดดีเอ็นเอ pJR 69 จาก R ₉ ที่เจริญบนอาหารเลี้ยงเชื้อสูตร ต่าง ๆ โดย Microbiological test	82
25	ผลการศึกษาขนาดและ restriction site ของพลาสมิดดีเอ็นเอ pJR 69 ของ R ₉ บน 0.7 % agarose gel electrophoresis	83
26	ลักษณะการเจริญและแอกติวิตีของเอนไซม์เพนนิซิลิน เอซีเลส ของ และ Q ₆₉ ในอาหารอุดม LB เสริมกลูโคส 1 %	89
27	การทดสอบการผลิต PA ของ S ₅ และ <u>E. coli</u> HB 101 ที่ได้รับ พลาสมิดดีเอ็นเอ pJR 69 จาก S ₅ ที่เจริญบนอาหารเลี้ยงเชื้อสูตร ต่าง ๆ โดยวิธี Microbiological test	90
28	ผลการศึกษาขนาดและ restriction site ของพลาสมิดดีเอ็นเอ pJR 69 ของ S ₅ บน 0.7 % agarose gel electrophoresis	92
29	Restriction mapping คร่าว ๆ ของ pJR 69	98



คำย่อ

6-APA	=	6-Aminopenicillanic acid
ATCC	=	American Type Culture Collection
ATP	=	Adenosine - 5' - triphosphate
bp	=	base pair
BSA	=	Bovine serum albumin
c-AMP	=	Cyclic adenosine monophosphate
CHCl ₃	=	Chloroform
CsCl	=	Cesium chloride
°C	=	degree celcius
d	=	dalton
DNA	=	Deoxyribonucleic acid
DNase	=	Deoxyribonuclease
DMSO	=	Dimethyl sulfoxide
EDTA	=	Ethylene diamine tetraacetic acid
g	=	gram
HCl	=	Hydrochloric acid
hr	=	hour
kb	=	kilobase pair (10 ³ base pair)
Km ^r	=	Kanamycin resistance
K.U.	=	klett unit
M	=	molar
Md	=	megadalton (10 ⁶ dalton)
µg	=	microgram (10 ⁻⁶ gram)
µl	=	microlitre (10 ⁻⁶ litre)
ml	=	millilitre (10 ⁻³ litre)
mM	=	millimolar (10 ⁻³ molar)

คำย่อ (ต่อ)

μ mole	=	micromole (10^{-6} mole)
ng	=	nanogram (10^{-9} gram)
nm	=	nanometer (10^{-9} meter)
nmole	=	nanomole (10^{-9} mole)
NTG	=	N-methyl-N'-nitro-N-nigrosoguanidine
O.D.	=	optical density
PA	=	Penicillin acylase
PAA	=	Phenylacetic acid
PAAB	=	Phenyl acetyl-4-aminobenzoic acid
PABA	=	p-Aminobenzoic acid
PDAB	=	p-Dimethyl amino benzaldehyde
Pen G	=	Penicillin G
Pen G ^r	=	Penicillin G resistance
<u>rec</u> A	=	Recombination
RNA	=	Ribonucleic acid
RNase	=	Ribonuclease
SDS	=	Sodium dodecyl sulfate
sec	=	second
Tris	=	Tris (hydroxymethyl) aminomethane
UV	=	Ultraviolet